

東急建設 技術研究所 石川 雅美
間組 技術研究所 吉川 弘道
名古屋大学 工学部 田辺 忠顯

1. まえがき

コンクリート内部に分布する微視的空間を微小四面体といふ。損傷は、荷重の進行に伴い発達する。本研究は、このような荷重の進行に伴う内部の構造劣化とコンクリートが荷重初期段階から示す非線形特性とが、なんらかの関係を有するものと考え、コンクリートの材料非線形解析の場に損傷理論(damage theory)を適用したものである。また、本報は前回(RC-FEM コロキウム)の基礎理論を補足する意味での基本定式化と一軸場における損傷ひずみの定義方法として、Sanc玉の式、e閑散法といった既述の数学モデルとの関係について述べた。

2. 基本定式化

図.1に示すように直交テカルト座標系内に損傷を有する物体を考える。ここで、 x_i 軸と直交する断面内で觀察される単位面積当たりのせり面積の割合を損傷率 $d\phi_i$ と定義し、その増分量 $d\phi_i$ は一般に、応力レベル σ_i 、応力増分 $d\sigma_i$ 、応力履歴 K_i 、初期損傷率 ϕ_i に依存する量であると考えられる。また、 x_i 方向に生じた損傷増分 $d\phi_i$ は、直交する他の2方向、 j, k に対してもある程度の影響を与えるものと考え、二の影響の度合を損傷影響比 S_{ij} と用いて記述する。したがって、その直交する断面内の損傷の影響を含めた各面内の全損傷増分 dS_i は次式で表される。

$$dS_i = S_{ij} d\phi_j \quad (i=1, 2, 3, j=1, 2, 3)$$

$$i=j \text{ のとき } S_{ij} = 1$$

$$i \neq j \text{ のとき } S_{ij} < 0$$

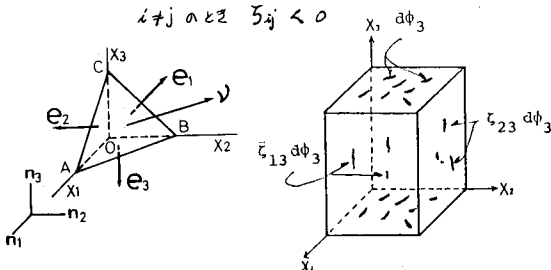


図.2 物体内の微小四面体 図.3 x_3 軸方向に均一な損傷をもつ物体

いま、図.2に示すよう廿微小四面体において、面積ベクトル S_i を定義する。二の面積ベクトル S_i は、面ABC上の外向き法線ベクトル e_i をABCの面積でスカラー倍したベクトルであり、次のように表される。

$$S_i = S_{13} e_1 + S_{23} e_2 + S_{31} e_3 \quad (i=1, 2, 3) \quad (2)$$

ここで、 e_i は微小四面体が定義された局所座標系での単位基底ベクトルであり、 S_i は、

$$S_i = S(1, 2, 3) \quad (3)$$

で表される。図.2中の S_i は全体座標系での単位基底ベクトルである。いま、図.3に示すように、 x_3 軸方向の荷重増分により、 x_3 軸方向に対して均一な損傷が生じた場合を考える。損傷増分 $d\phi_3$ により、二の物体内の微小四面体要素の面OABは、 OA^*B^* に変換され、損傷影響比 S_{13}, S_{23} を考える事により、面AOCと面BOCも、それそれ A^*OC^*, B^*OC^* に変換される。したがって法線ベクトル e_i は i^* となり、 S_1, S_2, S_3 はそれそれ S_1^*, S_2^*, S_3^* となる。(図.4参照)

$$S_1^* = (1 - S_{13} d\phi_3) S_1$$

$$S_2^* = (1 - S_{23} d\phi_3) S_2$$

$$S_3^* = (1 - d\phi_3) S_3 \quad (4)$$

したがって面積ベクトル S^* は、

$$S^* = S^*(1, 2, 3) e_i^*$$

$$= (1 - S_{13} d\phi_3) S_1 e_1^*$$

$$+ (1 - S_{23} d\phi_3) S_2 e_2^*$$

$$+ (1 - d\phi_3) S_3 e_3^*$$

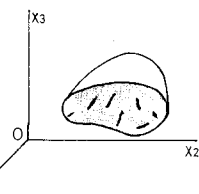


図.3 x_3 軸方向に均一な損傷をもつ物体

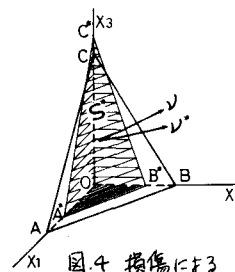


図.4 損傷による実質面積ベクトルの変換

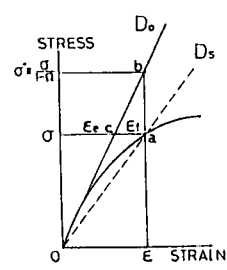


図.5 損傷ひずみの定義

多軸場におけるは、

$$\begin{aligned} S_1^* &= (1 - dS_{21}) S_1 \\ S_2^* &= (1 - dS_{22}) S_2 \\ S_3^* &= (1 - dS_{23}) S_3 \end{aligned} \quad (6)$$

したがって、面積ベクトル S^* は

$$S^* = (1 - dS_{21}) S_1 m_1 + (1 - dS_{22}) S_2 m_2 + (1 - dS_{23}) S_3 m_3 = (I - S^*) S \quad (7)$$

ここで、 dS_2 は損傷テニソルと呼ばれる2階のテニソル量であり、次のように定義される。

$$dS_2 = dS_{21} (m_1 \otimes m_1) + dS_{22} (m_2 \otimes m_2) + dS_{23} (m_3 \otimes m_3) \quad (8)$$

Traction を T^* とすると図.4 の面ABCに作用する合計ベクトル $S^* T^*$ は応力テニソルと以下の関係をもつ。

$$S^* T^* = [T^*] S^* S^* \quad (9)$$

損傷がある場合の実質面積要素の面 $A^* B^* C^*$ に対してても、

$$S^* T^* = [T^*] S^* S^* \quad (10)$$

が成り立つおり、また両者は釣合つてなることから、

$$S^* T^* = S T^* \quad (11)$$

となる。ここに、 T^* は面 $A^* B^* C^*$ に働く応力ベクトルである。
(11)式の関係から

$$\begin{aligned} [S^*] S T^* &= [T^*] S^* S^* \\ &= [T^*] [I - S^*] \end{aligned} \quad (12)$$

が導かれ、面辺を比較するこにより、

$$[S^*] = [T^*] [I - S^*] \quad (13)$$

を得る。ここに $[T^*]$ は実質応力テニソルであり、次のように定義される。

$$[T^*] = [T] [I - S^*]^{-1} \quad (14)$$

このように、 α カクの応力テニソル $[T]$ は損傷の影響により $[T^*]$ に変換される事が示された。ここで得られると実質応力テニソルは非対称となる。柱上部では、その対称部分だけを用ひてなる。(13)式をベクトル形式で記述すると

$$\{S\} = ([I] - [S^*]) \{T^*\} \quad (15)$$

ここで、 $\{S\}, \{T^*\}$ は成分の応力ベクトルと考えると $[I], [S^*]$ は 9×9 の成分をもつマトリックスとなる。 $[I]$ は単位マトリックスであり、 $[S^*]$ は、

$$[S^*] = \begin{bmatrix} [S_1]^T & 0 & 0 \\ 0 & [S_2]^T & 0 \\ 0 & 0 & [S_3]^T \end{bmatrix} \quad (16)$$

となる。

3. 損傷ひずみ

物体内部の損傷を受けた部分では、初期弾性が保持されてなると仮定する。二の部分に作用すると考えられる実質応力に対応するひずみとは、単純に初期弾性を介して定義しうる。また、 α カクの応力に対応するひずみ E_S も初期弾性を介して考えると、二の α カクの応力と実質応力に相当するひずみが損傷によって発達する損傷ひずみであると考えられる。(図.5参照)
したがって 損傷ひずみ ϵ_S は、

$$\begin{aligned} \{\epsilon_S\} &= \{E\} - \{E_S\} = [D_0]^{-1} \{T^*\} - [D_0]^{-1} \{T\} \\ &= [D_0]^{-1} (\{T^*\} - [I - S^*] \{T^*\}) \\ &= [D_0]^{-1} [S^*] [D_0] \{\epsilon\} \end{aligned} \quad (17)$$

と定義できる。ここに、 $[D_0]$ は初期材料マトリックスである。ここでは、9成分のひずみベクトルと考えていが、通常の有限要素法のコードに導入するためには $[S^*]$ に対する操作を組み込んだ 6×6 成分の損傷マトリックス $[S^*]_{sym}$ を定義する。この操作により、6成分の損傷ひずみベクトル $\{\epsilon_S\}$ が得られることになる。

4. 一軸場における既応のモデルと損傷ひずみの関係
一軸場でのコンクリートの応力～ひずみ関係を記述する既応の数学モデルと、前述された損傷ひずみの定義との関係について考察する。Saenz³⁾ 式は、

$$\epsilon = \frac{E_S}{1 + [(E_0/E_S) - 2](\epsilon/\epsilon_0) + (\epsilon/\epsilon_0)^2} \quad (18)$$

で与えられる。ここに ϵ と ϵ_0 はピーケー応力をもとに対応するひずみであり E_0 は実験的に求められる初期弾性係数である。いま、 $E_0 = 2f_c/E_0$ (f_c は一軸圧縮強度) と仮定し、この式と合致するような損傷ひずみの定義を導出すると次式のようになる。

$$\epsilon_S = [\{\epsilon_0^2 / (E_0^2 + \epsilon)\} + 1] \epsilon \quad (19)$$

次に、橋本⁴⁾の提案によるひずみと関数との関係について述べる。 ϵ 関数式は次のようによく表わされる。

$$\epsilon/f_c = K \{ e^{-\alpha(\epsilon/\epsilon_0)} - e^{\beta(\epsilon/\epsilon_0)} \} \quad (20)$$

ここに、 K, α, β は定数であり、普通コンクリートに対しては、それぞれ、6.75, 0.812, 1.218 が用ひられる。この式と合致する ϵ の定義は、次のように表わされる。

$$\epsilon_S = \left\{ \frac{K}{2\lambda} (e^{\beta\lambda} - e^{-\alpha\lambda}) + 1 \right\} \epsilon \quad (21)$$

$\lambda = \epsilon/\epsilon_0$ とおいた。

参考文献(1) 石川、吉川、田辺、「損傷テニソルに基づく非線形構成則と有限要素解析」RC構造の有限要素解析に關する討論(1984)2)村上、大野、「微視的応力に起る有效面積の減少に關する実験的研究」II-70夏期、日本機械学会論文集(1980)、3) Saenz L.P. "Discussion of Equation for the Stress-Strain Curve" ACS Journal Vol. 61 No. 9 (1964) 4) 橋本「鉄筋コンクリート梁の塑性变形及び終局変形及び終局強度」日本建築学会論文集42号(1951)